



Kパルス幅を変化させたときの硬さを図4に示す。ピーフ電流の場合同様Kパルス幅が大きくなるにつれて白鍛層・熱影響層共に厚くなる。しかしピーフ電流の場合とは異なりパルス幅が大きくなるにつれて熱影響層の厚さは飽和する傾向が見られる。

図5と6はピーフ電流・パルス幅による白鍛層の厚さを示す。白鍛層は加工条件によらず大きく左右するが一般には断面に対し均一な分布を示さない。そのためこの図では平均厚さを示す。電極に銅を用いた時、ピーフ電流・パルス幅が大きくなるにつれて白鍛層の厚くなる。しかしアルミを越えると大きな変化は見られない。組織から母材K均一K白鍛層を形成する条件としてピーフ電流10~30A・パルス幅200μs位である。最大で約60μmの白鍛層が加工表面に形成される。次に電極材料に銅と炭素を使用し天時の比較をパルス幅220μsで行い図6に示した。その結果、炭素電極の方がより厚い白鍛層を生じIp26.4Aでは約40%厚くなっている。これは電極材料からの浸炭傾向が影響を及ぼしたものと考える。ところでこの白鍛層はその硬さHvが800以上あることよりタフ、浸炭や窒化のような表面硬化処理の役割として機械的性質の向上に役立つものと考えられる。他方表面からこの劣化やクラックの発生などは機械的性質に悪影響を与えるものと考える。そこで次に表面状態や熱影響層が引張強さ・伸びび・絞り等Kどのよう影響を及ぼすか調べた。

図6はピーフ電流・パルス幅による引張強さと筋状変の変化を示す。以下2点線は旋削試験片の試験結果を示している。引張強さは旋削試料よりも若干大きくなるがピーフ電流・パルス幅による変化はない。このことは浸炭や窒化などの表面硬化法と比較して硬化層が薄くJ大硬化層の断面分布が一様でない。従って放電加工によると大硬化層に引張強さに影響を与えないことが分かる。加工面あたりを最大で50μm<sup>2</sup>となるが引張強さに変化はなくクラックもあらねずではあるが引張強さに影響はないことが分かる。筋状変

J旋削・放電加工試験片共に全く同じで40kg/mm<sup>2</sup>である。K. ピーフ電流・パルス幅による違いは引張強さの場合はほとんどないが筋状変が明確に表わされ上・下限硬度の差がほとんどない。このことは放電加工表面のせい化Kより表面はせい化材料・内部は延性材料のようなる構造を示すと変化したものと考えられる。

次に伸びと絞りの変化を図6に示す。伸びはK(旋削)の値が約2%であるのに対し放電加工で約7%と大きい。伸びK(ピーフ電流・パルス幅が大きくなるにつれて伸びが減少していく。絞りK

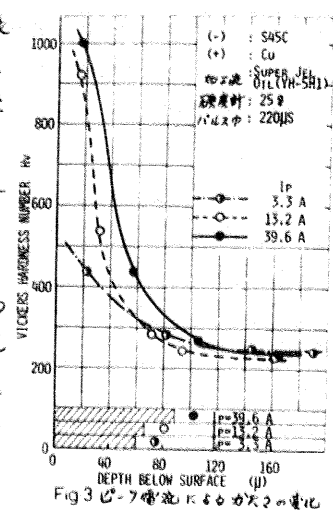


Fig. 3 ピーフ電流によるかたさの変化

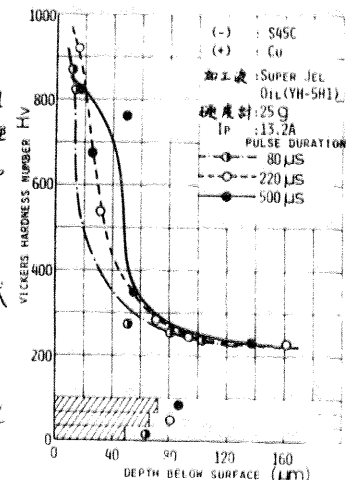


Fig. 4 パルス幅によるかたさの変化

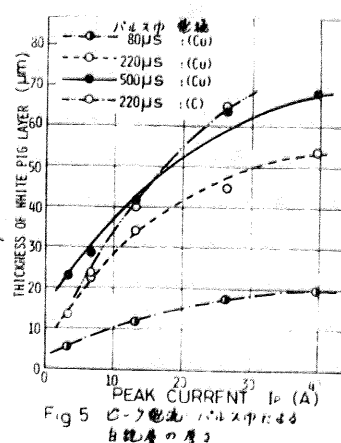


Fig. 5 ピーフ電流・パルス幅による白鍛層の厚さ

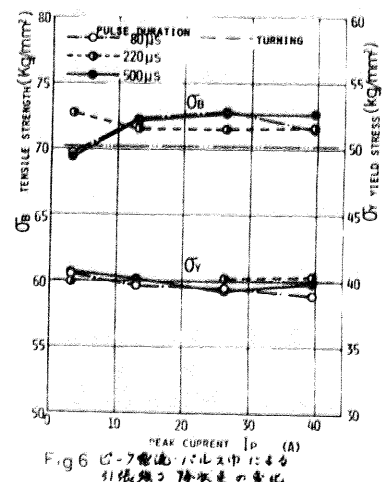


Fig. 6 ピーフ電流・パルス幅による引張強さの変化

用しても同様の傾向が見らる。旋削試験片より10~20%低下した。このようす伸び・絞りの結果から今からようす放電加工によつて生じた表面硬化層が材料をせい化せらる。されゆえ放電エネルギーが大きくなつと放電界面が深く、せい化領域が大きくなり伸び・絞りが低下する傾向をもつ。

図8 K31張試験における破断面を示す。ピ-ク電流3A・パルス幅80μsの低エネルギー範囲ではCup and Coneの型の形状が見られる。しかし放電エネルギーが増加するに従ふると表面部が鋸歯状のせい化面とホリヤ内側は延性破面を示してゐる。このような破面は引張試験片すべてに見らる。引張強度において放電加工を行つて機械的性質を特徴づける破面であると言えらる。

引張試験の際、荷重-伸び線図から定まる面積はその材料が破断までの伸びした仕事量である。これは材料の塑性性質を示すパラメータと考へられる。そこでその仕事量を試験片の最小伸びで除した値を破断仕事量と定義し、その結果を図9に示す。図8より旋削試験片の破断仕事量が6.1kg/cm<sup>2</sup>であるのに放電加工試験片は8~23%低く、強度性の低下が分かる。しかし前述のようすK31張強さは変化しないことより放電加工試験片は軟性がかなり悪くなる。このことはシャルピ-試験による衝撃値の減少からも確かめらることができた。

旋削試験片の衝撃値が1.7kg/cm<sup>2</sup>であるのに放電加工試験片は0.5~0.8kg/cm<sup>2</sup>と衝撃強度の劣化を示す。

#### 4. 結論

放電加工によつて形成される硬化層が部材の機械的性質にどのような影響を与えるか調べ次のように結果を得た。

- (1). 放電加工によつて生じた硬化層は100~1000μm程度や深くなる硬さと変わらないが、その有効深さは浅く最大で0.1mmである。
- (2). 引張強さ、降伏強度、ピ-ク電流・パルス幅による変化はほとんどなく、降伏強度が明瞭に表わせなかつた。
- (3). 伸び・絞り共に放電加工によつてその値は低下し、さらにピ-ク電流・パルス幅の増大によりますくなり、せい化傾向が見らめた。
- (4). 旋削試験片と比較して放電加工試験片の剛性の低下が破断仕事量から認められた。

最後に本研究に協力された当科学生酒屋均・星野幹夫・本内俊一郎氏に深く感謝致します。

#### 参考文献

- (1). Lloyd, H.K and Warren, R.H; Journal of the Iron and Steel Institute, (1965), 208-247.
- (2). König, W. and Wertheim, R.; Giesserei, 63 (1976) Nr. 2, 49-55.
- (3). Stein, H.D.; Industrie-Anzeiger, 99. Jg. Nr. 41. V. 20. 5 (1977), 707-742.
- (4). 大崎徹亮ほか; 金属学会誌, 27巻(1963)第6号, 285-288.

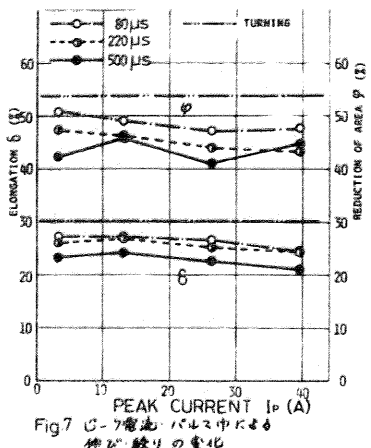
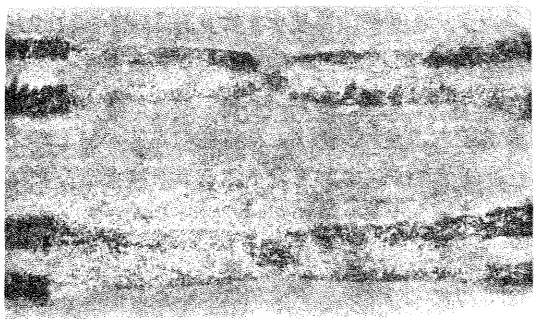


Fig. 7 ピ-ク電流・パルス幅による伸び・絞りの変化



(上) ピ-ク電流 3.3A, パルス幅 80μs  
(下) ピ-ク電流 26.4A, パルス幅 220μs

Fig. 8 31張試験における破断面

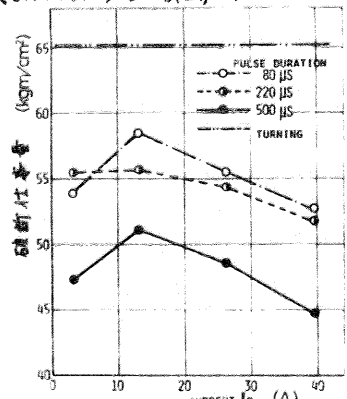


Fig. 9 ピ-ク電流による破断仕事量